

sion for (I.25) can be taken from (I.13) – to derive approximately (s. I.51 and II.9) the inelastic electron-nuclei scattering cross section in the form⁶

$$\frac{d^2\sigma_{e,\mathcal{N}}}{dE_2 d\Omega} \sim \alpha \frac{|\text{EM}|^2 |\text{KM}|^2}{1 + (2 E_1/M_0) \sin^2(\vartheta/2)} \cdot \left\{ F_1(q^2) + \frac{q^2}{4 m_0^2} [2(F_1 + g_1 F_2)^2 \tan^2(\vartheta/2) + g_1^2 F_2^2] \right\} \quad (1)$$

with $q = \frac{2 E_1 \sin(\vartheta/2)}{[1 + (2 E_1/m_0) \sin^2(\vartheta/2)]^{1/2}}$

(m_0 nucleon mass; M_0 mass of the recoil nucleus).

The EM and the KM are the electron- and nucleon-matrix elements for the point nucleus and finite nuclear size. $F_i(q^2)$ are the elastic form factors, constructed from the general expression $\varrho(L, \tau)$, given in I (s. ⁶). This result agrees exactly with the ROSENBLUTH formula for elastic electron-nucleon scattering processes.

The inelastic cross-section (1) with inelastic form factors $\bar{F}_i(q^2, W^2)$, ($i=0, 1$) one can derive exactly from I and II in an analogous form to the ROSENBLUTH

⁷ M. GOURDIN, Nuovo. Cim. **21**, 1094 [1961]. — S. D. DRELL and C. L. SCHWARTZ, Phys. Rev. **112**, 568 [1958]. — G. E. MASEK, J. P. TOUTONI, R. W. WILLIAMS, and D. H. COWARD, Phys. Rev. **124**, 555 [1961].

formula:

$$\frac{d^2\sigma_{e,\mathcal{N}}(E_1, W^2, q^2)}{dE_2 d\Omega} = \alpha A \frac{\cos^2(\vartheta/2)}{4 E_1^2 \sin^4(\vartheta/2)} \frac{1}{1 + (2 E_1/M_0) \sin^2(\vartheta/2)} \cdot \left\{ \bar{F}_1(q^2, W^2) + 2 \tan^2(\vartheta/2) \bar{F}_0(q^2, W^2) \right\} \quad (2)$$

with A and $\bar{F}_i(q^2, W^2)$ taken from I and II, the anomalous magnetic moments of the nucleons neglected⁷. With $g_1=0$, (1) follows from (2).

Note added in proof:

It is not necessary to derive here the construction of form factors for the two-photon-exchange contributions. They give the first correction to the ROSENBLUTH formula arising from the interference terms between α and α^2 . It contributes less than 1% in the region of experimental interest^{8–10}.

It is a pleasure to thank Prof. J. HANS D. JENSEN, Prof. F. BECK and Dr. E. SAUTER for discussions about this problem.

⁸ S. FUBINI, Report presented at the Aix-en-Provence Int. Conf. 2298/TH. 233.

⁹ R. RODENBERG, Proc. Rutherford Jub. Int. Conf., Sept. 1961.

¹⁰ R. RODENBERG, Z. Naturforsch. **16a**, 1242 [1961].

Zum Symmetrieverhalten des Einflusses des endlichen ausgedehnten Kerns beim Übergang vom (e, \mathcal{N}) - zum (\bar{e}, \mathcal{N}) -Prozeß

Von RUDOLF RODENBERG

Institut für Theoretische Physik der Universität Tübingen (Z. Naturforsch. **16a**, 1244–1245 [1961]; eingeg. am 14. November 1961)

Es ist nicht selbstverständlich, daß – abgesehen von der Positronenvernichtung mit Hüllelektronen und der damit verbundenen Änderung von Z des Kerns – der Einfluß des endlichen ausgedehnten Kerns symmetrisch ist beim Übergang vom (e, \mathcal{N}) - zum (\bar{e}, \mathcal{N}) -Prozeß^{1, 2} (weiterhin mit I und II bezeichnet), obgleich die in einer anderen Arbeit³ (weiterhin mit III bezeichnet) angegebene allgemeinste HAMILTON-Dichte der Wechselwirkung zwischen Kern und Feld, Elektronen und Feld und der direkten COULOMBSchen Wechselwirkung (III.7, III.8) und die in erster nichtverschwindender Näherung des S -Matrixformalismus erhaltenen Matrixelemente für den (e, \mathcal{N}) -Prozeß (III.13) invariant sind gegenüber dem Übergang Teilchen \rightarrow Antiteilchen⁴.

Wir wollen hier nur kurz an Hand eines speziell gewählten Potentialverlaufs innerhalb und außerhalb des endlichen ausgedehnten Kerns für den inelastischen

(e, \mathcal{N}) - und (\bar{e}, \mathcal{N}) -Prozeß das in I angegebene Symmetrieverhalten von (II.9) aufzeigen. Außerhalb des endlichen ausgedehnten Kerns findet das Elektron bzw. Positron wie bei der COULOMB-Anregung von Atomkernen das COULOMB-Potential $V_{C^e, \bar{e}}(r)$ vor. Innerhalb des Kerns für $r \leq R$ ($R = R_0 A^{1/3}$, Kernradius) soll das COULOMB-Potential in ein optisches Potential $V_{\text{opt.}} \sim i \bar{V}(r)$ übergehen (der dispersive Potentialanteil sei hier fortgelassen, da er bei unserer Symmetriebetrachtung herausfällt). Einen „hard core“-Anteil lassen wir weg wegen der großen Abstoßung bei so kleinen Abständen und der damit nach der Unschärferelation gegebenen hohen Elektronenenergie ($E_{e, \bar{e}} \sim 10^2$ MeV) im Kerninneren.

Wir haben demnach als Potentialansatz:

$$V(r) = V_{C^e, \bar{e}}(r) + V_{\text{opt.}}(r) \quad \text{in } 0 < r < \infty, \\ V_{C^e, \bar{e}}(r) = \mp Z e/r \quad \text{in } R \leq r < \infty, \quad \text{sonst } 0, \quad (1)$$

und der Einfachheit halber

$$V_{\text{opt.}} \sim i V_0 \quad \text{in } 0 \leq r < R, \quad \text{sonst } 0.$$

Damit ergibt sich für die Wirkungsquerschnitte $\sigma_{e, \mathcal{N}}$ und $\sigma_{\bar{e}, \mathcal{N}}$ für den (e, \mathcal{N}) - und (\bar{e}, \mathcal{N}) -Prozeß in erster nichtverschwindender Näherung des S -Matrixformalismus für die potentielle Energie $e V$ als Wechsel-

¹ R. RODENBERG, Z. Phys., im Druck.

² R. RODENBERG, Z. Phys. **162**, 347 [1961].

³ R. RODENBERG, Z. Phys. **158**, 44 [1960].

⁴ P. ROMAN, Theory of Elementary Particles, North-Holland Publishing Company, Amsterdam 1960, S. 283/284.



Dieses Werk wurde im Jahr 2013 vom Verlag Zeitschrift für Naturforschung in Zusammenarbeit mit der Max-Planck-Gesellschaft zur Förderung der Wissenschaften e.V. digitalisiert und unter folgender Lizenz veröffentlicht: Creative Commons Namensnennung-Keine Bearbeitung 3.0 Deutschland Lizenz.

Zum 01.01.2015 ist eine Anpassung der Lizenzbedingungen (Entfall der Creative Commons Lizenzbedingung „Keine Bearbeitung“) beabsichtigt, um eine Nachnutzung auch im Rahmen zukünftiger wissenschaftlicher Nutzungsformen zu ermöglichen.

This work has been digitized and published in 2013 by Verlag Zeitschrift für Naturforschung in cooperation with the Max Planck Society for the Advancement of Science under a Creative Commons Attribution-NoDerivs 3.0 Germany License.

On 01.01.2015 it is planned to change the License Conditions (the removal of the Creative Commons License condition "no derivative works"). This is to allow reuse in the area of future scientific usage.

wirkungsenergie mit $\alpha = e^2$

$$\sigma_{e, \mathcal{N}} \sim \alpha \{ | \langle V_{C^e} \rangle |^2 - | \langle V_0 \rangle |^2 \} \sim \sigma_{e, \mathcal{N}}.$$

$$\sigma_{e, \mathcal{N}} = \sigma_{e, \mathcal{N}}. \quad (2)$$

In jeder höheren Näherung folgt auch die Gleichheit von $\sigma_{e, \mathcal{N}}$ und $\sigma_{e, \mathcal{N}}$. Wie in I bereits gezeigt wurde, gehen für den totalen und differentiellen (e, \mathcal{N})-Wirkungsquerschnitt die Faktoren von (2) in dieselben über wie für den totalen und differentiellen $\sigma_{e, \mathcal{N}}$.

Damit ist auch (außer der gegebenen Invarianz von (III.7), (III.8) und (III.13)) gegenüber $e \rightarrow e$ an Hand eines für die inelastische Elektronen- bzw. Positronenstreuung am Atomkern naheliegenden Modells die volle Symmetrie des Einflusses des endlichen ausgedehnten Kerns beim Übergang Elektron \rightarrow Positron gezeigt.

Herrn Prof. W. C. BARBER (High-Energy Physics Laboratory, Stanford, Calif.) danke ich herzlich für die Anregung, die zu dieser Untersuchung geführt hat.

Drei-Alpha-Zerfall von $C^{12*}(16,11 \text{ MeV})$

Von D. DEHNHARD, D. KAMKE und P. KRAMER

Physikalisches Institut der Universität Marburg
(Z. Naturforsch. 16 a, 1245–1246 [1961]; eingeg. am 16. Oktober 1961)

Das α -Spektrum und das $p\alpha\alpha$ -Koinzidenzspektrum der Kernreaktion $B^{11}(p, \alpha)$ wurden untersucht. Innerhalb der Resonanz bei $E_p = 163 \text{ keV}$ kann das Koinzidenzspektrum nicht vollständig dem bisher angenommenen Zerfallsschema¹



zugeschrieben werden; dort lassen sich die Ergebnisse durch den gleichzeitigen Zerfall von C^{12*} in drei α -Teilchen erklären. Unterhalb und oberhalb der Resonanz dagegen sind sie in Einklang mit dem Kaskaden-Zerfallsschema.

Das ursprüngliche Ziel dieser Arbeit war die nähere Untersuchung der schon früher gefundenen Veränderungen des α -Spektrums in der Nähe der 163 keV-Resonanz^{2,3}.

Zur Messung wurden zwei α -Zähler Z_1 und Z_2 (CsJ, 5% energetisches Auflösungsvermögen für $Po^{210}\alpha$ -Teilchen) in Koinzidenz ($0,2 \mu\text{s}$ Auflösungszeit) benutzt. Die Zähleranordnung lässt sich am bequemsten durch die Angabe der EULERSchen Winkel⁴ beschreiben. R_0 , R_1 , R_2 seien die Richtungen von Protonenstrahl, Target-Z₁, Target-Z₂ mit $R_0 = (0, \vartheta_0, 0)$, $R_1 = (0, 0, 0)$, $R_2 = (\frac{1}{2}\pi, \vartheta_2, 0)$. Der Winkel $\vartheta_2 = 130^\circ$ wurde fest eingestellt und ϑ_0 variiert. Wenn der Zerfall über Be^{8*} (2,9 MeV) führt, erhält man für alle Werte von ϑ_0 zwei breite Linien, α_{11} bei 2,6 MeV und α_1 bei 3,9 MeV, deren Formen durch die Kinematik des Zerfalls und durch die Breite des Be^{8*} -Niveaus bestimmt sind.

Die $p\alpha\alpha$ -Korrelation sollte sich in der Abhängigkeit der $\alpha_1\alpha_{11}$ - (bzw. der $\alpha_{11}\alpha_1$ -)Koinzidenzrate vom Winkel ϑ_0 äußern. Koinzidenzen zwischen α -Teilchen aus dem Übergang zum Grundzustand des Be^8 sind bei $\vartheta_2 = 130^\circ$ unmöglich, Koinzidenzen zwischen α_{11} und α_{12} können vernachlässigt werden, da die Energie eines

der beiden α -Teilchen unterhalb der Zählerschwelle (bei etwa 1 MeV) liegt.

Bei festem ϑ_2 wurde ϑ_0 zwischen 45° und 150° variiert, dabei wurde das einfache Spektrum und das Koinzidenzspektrum unterhalb, oberhalb und in der Resonanz gemessen. Unterhalb (145 keV) und oberhalb (190 keV) tragen vor allem die Ausläufer der 675 keV ($J=2, -$)- und der 1388 keV ($J=1, -$)-Resonanz zum Wirkungsquerschnitt bei, während der Anteil der 163 keV ($J=1, +$, $\Gamma=5 \text{ keV}$)-Resonanz klein ist. Bei 145 keV (Targetdicke 50 keV) fanden wir das Koinzidenzspektrum Abb. 1, Kurve a. Es zeigt die erwartete Form und bestätigt damit das Kaskadenschema. Als Koeffizienten der $p\alpha\alpha$ -Korrelation

$$W(\vartheta_0, \vartheta_2) = 1 + a_1(\vartheta_2) \cos \vartheta_0 + a_2(\vartheta_2) \cos^2 \vartheta_0$$

ergaben sich $a_1(130^\circ) = 0,9 \pm 0,1$; $a_2(130^\circ) = 0,1 \pm 0,1$.

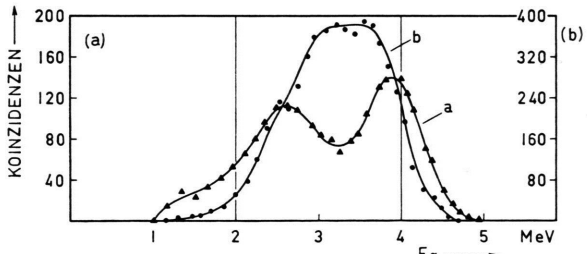


Abb. 1. Gemessene Koinzidenzspektren: (a) unterhalb der Resonanz bei $E_p = 145 \text{ keV}$, (b) in der Resonanz bei $E_p = 163 \text{ keV}$. — In beiden Fällen gleiche Monitorrate.

Innerhalb der 163 keV-Resonanz (Targetdicke 4 keV, wodurch der Anteil der höherliegenden Resonanzen auf etwa 15% reduziert wird) fanden wir das in Abb. 1, Kurve b dargestellte, völlig veränderte Koinzidenzspektrum, dessen Ursache in einem veränderten Zerfallsschema zu suchen ist. Immerhin ergibt das gemessene einfache Spektrum noch einen Beitrag des Kaskadenzerfalls von $50 \pm 20\%$ (Abb. 2, Kurve b verglichen mit Kurve a).

Die Gesamtzahl der Koinzidenzen bei 163 keV, bezogen auf die Zahl aller C^{12*} -Zerfälle, steigt bei 163 keV

³ H. WERNER, Dissertation, Freiburg i. Br. 1959.

⁴ S. DEVONS u. L. J. B. GOLDFARB, Angular Correlations, Handbuch d. Phys. XLII 1957, herausgeg. von S. FLÜGGE.

¹ Dieses Zerfallsschema wurde neuerdings für höhere Protonenergien bestätigt durch E. H. BECKNER, C. M. JONES u. G. C. PHILLIPS, Phys. Rev. 123, 255 [1961].

² D. KAMKE, Z. Phys. 156, 603 [1959].